

## 活性汚泥の基質代謝に及ぼす培養 $\text{M}/\text{M}$ の影響

東北大学 正 松本順一郎  
東北大学 学 ○江成敬次郎

### §-1 はじめに

活性汚泥法による廃水処理は、活性汚泥を構成する一群の微生物集団と、廃水中に含まれる有機物との生化学的反応を主体としている。従って、廃水処理プロセスを効果的に遂行するためには、これらの反応を適正にコントロールする事が主要な問題の一つとなる。これまでにも、活性汚泥と基質との反応に関連した様々な研究が行われて来ており、物理的化学的環境条件、反応物質濃度、活性汚泥微生物相、基質の種類等について検討されて来る。しかしながら、これらはいずれも浄化作用に及ぼす一時的な影響について考へられてゐるのがほとんどである。反応物質の一つである活性汚泥は生物体であり、その生物体がそれまでどのよう環境条件下で培養されていたかが、それを個別に規定することは今迄考へらねば、浄化作用に影響を与える反応物質の個別個別の側面からの考察といふことから、培養条件についての研究が必要であると思われる。これまで、活性汚泥のバルキングとの関連において培養条件の検討がなされているが、活性汚泥の浄化機構を説明するための一つのアプローチと云ふ意味からも、更に系統的な研究が必要であると考えられる。そこで今回は、活性汚泥の基質除去作用、及び呼吸作用に対する培養  $\text{M}/\text{M}$  の影響について実験を行い、若干の知見が得られたので報告したい。

### §-2 活性汚泥の馴致、培養方法並びに実験材料

実験に用いられた活性汚泥は、宮城県船岡し尿処理場曝気槽から採取した活性汚泥を種汚泥として、グルコースとグルタミン酸リードを有機成分とする基質に約6ヶ月間馴致したものである。こうして馴致された汚泥を所定の培養条件で定常培養し、それを実験に用いた。

用いられた基質は、表-1に示した組成をもつ原液を、適当な濃度にさするよう水道水で希釈したものである。又、これには、pH調整のためのリン酸緩衝液( $\text{KH}_2\text{PO}_4$  50% +  $\text{K}_2\text{HPO}_4$  200%)を、水道水と当り 1 ml の割合で添加した。

活性汚泥の培養には、図-1に示した装置を用いた。運転方式は曝気時間 7 hr, 沈殿時間 1 hr の fill and draw 式であり、1サイクルの給排水量は 5 l, 混合液全量 1710 l で培養した。又、曝気時間、沈殿時間及び給排水量は、各々タイマーと液面制御器を用いてコントロールした。

培養  $\text{M}/\text{M}$  ( $g\text{BOD}_{5\text{日}}/\text{gSS\cdot日}$ ) は 0.80 ~ 0.02 までの 5 段階である。各培養条件の、培養期間中の MLSS, 投入 BOD,  $\text{T}/\text{M}$ , pH 等を、平均

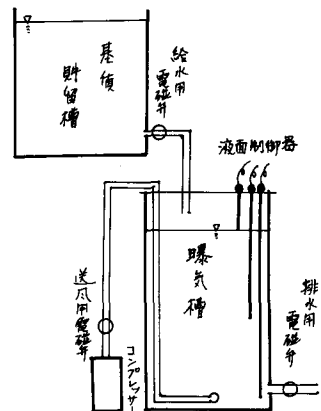


図-1 培養装置

成 分	原液 (l 当り) の量	成分重量百分率
グルコース	50 g	45.8%
グルタミン酸リード	50 g	45.8.
塩化ナトリウム	5 g	4.6,
塩化カルシウム	2.5 g	2.3.
硫酸マグネシウム	1.7 g	1.5.

表-1 基質の組成

値として表-2に示した。

F/M	投入BOD g BOD/ g SS・日	M/LSS	投入水pH	処理水pH	BOD除去率 %	SVI	温度 °C	溶気量 mg/l
0.80	1190	2975	7.5	8.1	99	50	室温	0.35
0.37	650	2400	7.5	8.1	97	38	"	"
0.25	280	1890	7.6	8.2	96	43	"	"
0.10	210	3890	7.2	8.1	98	25	20	"
0.02	75	2040	7.3	8.0	96	27	20	"

表-2 培養結果

### 3-3 培養F/Mと汚泥のバルキングとの関係

高いF/Mで培養された汚泥は、それである培養期間後に汚泥のバルキングを起した。図-2に、培養F/Mとバルキングとの関係を示した。ここで、バルキング日数は、SVIが100になるまでの培養期間と定義されている。

各培養F/Mでのバルキング汚泥の顕微鏡写真を写真-1～写真-3に示した。写真-1は、汚泥が正常な時のフロックであり、写真-2と写真-3はそれぞれ培養F/M=0.80と0.25の汚泥のバルキング状態の時のものである。尚、培養F/M=0.37の汚泥は、顕微鏡観察の限りでは培養F/M=0.25の汚泥と同じ様な状態であった。これらのバルキング汚泥の顕微鏡観察によると、培養F/Mによってバルキング汚泥にも相異があり、F/M=0.80で培養された汚泥は、培養開始後10日目頃から汚泥は白味を帯び、糸状微生物の飛達がみられた。一方F/M=0.25, 0.37の場合には、培養開始後各々50日, 80日目頃から黒褐色の大きなフロックが生成し始め、そのフロックの周囲から纖毛のようになら状の微生物が飛達した。これは、カビ性の活性汚泥と考えられる。<sup>1)</sup>

このように、グルコースとグルタミン酸ソーダを基質とした場合にF/Mが大きくなると汚泥はバルキングを生じやすくなり、一方培養F/Mによってとのバルキングの状態は一律ではない事が観察された。尚、この基質の理論的%は10であり、これに尿素を添加して%を低くしても、バルキングに対する改善は観察されなかった。

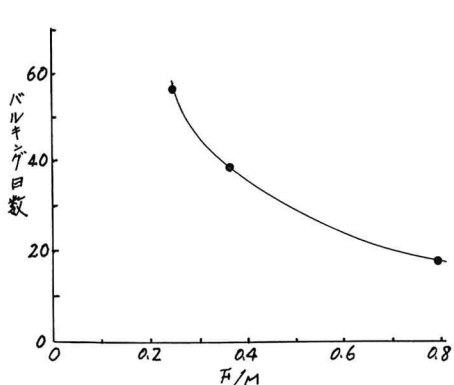


図-2 培養F/Mと汚泥のバルキング

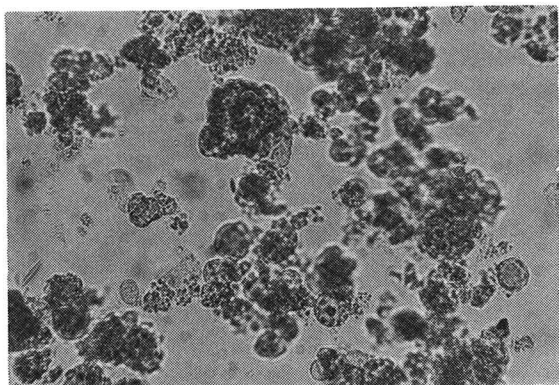


写真-1 正常時のフロック

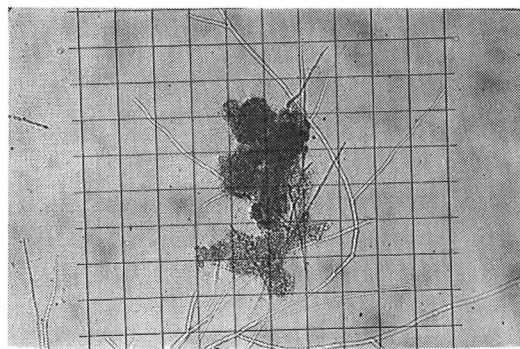


写真-2 バルギング汚泥 (培養T/M=0.25)

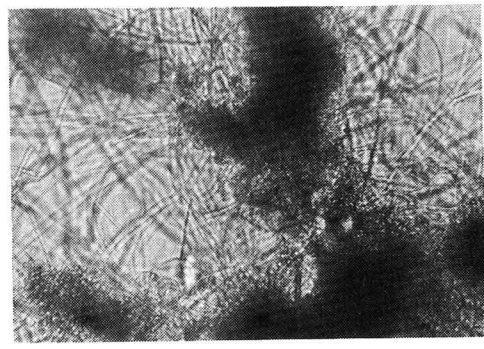


写真-3 バルギング汚泥 (培養T/M=0.80)

#### 3-4 基質除去作用に対する培養T/Mの影響

活性汚泥と基質との反応を考へる際、活性汚泥の作用を基質除去作用と呼吸作用とに分けて考へる事が多く、これは、プロセス制御や管理の面からは、基質除去作用が廃水からの汚濁成分の除去、つまり廃水処理の目的であり、呼吸作用がプロセスへの酸素供給と関係をもつたため、それぞれの作用についての諸関連を把握する必要がある。一方、活性汚泥の生理学的側面や代謝反応の面からも、基質除去作用が吸着や基質の細胞内への取り込み等を意味し、呼吸作用が細胞内での基質分解反応を意味すると考へられるため、両者の相互関係を踏えてそれぞれの反応の特性を考へる事が必要であると思われる。従って、本報告においても、培養T/Mの基質代謝に対する影響を、3-4では基質除去作用に対して、3-5では呼吸作用に対してと分けて考察した。

#### 4-1 実験装置及び実験方法

実験装置は図-3に示したもので、混合液量は500 ml、水温 $20 \pm 1^\circ\text{C}$ で実験を行った。混合液中のグルコース濃度の経時変化は、次の様にして求められた。まず所定時刻毎にフラスコから混合液を採取し、直ちにそれを静置し、その液中のグルコース濃度を測定した。

実験に用いた活性汚泥は、所定培養曝気槽から fill and draw サイクル終了時に採取され、それを遠心分離(3000 rpm 5分間)し、蒸留水で3回洗浄した後基質と共にフラスコに投入して実験を行った。この時の T/M を実験 T/M と称して培養 T/M と区別している。又、グルコースの定量はアンソロン法によった。

#### 4-2 実験結果及び考察

各 T/M で培養された汚泥に、三種類の濃度の基質を与え、その時の基質除去作用について実験を行った。各実験のグルコース濃度の経時変化を図-4～図-7に示した。

活性汚泥によるグルコースの除去は一般に基質濃度に関する一次反応で近似できるといわれている。<sup>2)</sup> 本実験でも一次反応では近似できる結果が得られたので、その除去速度定数を求めて、表-3 に示した。これによると、グルコース除去速度は高い T/M で培養されていた汚泥程低くなり、実

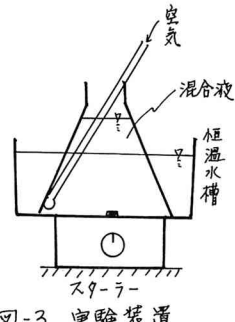
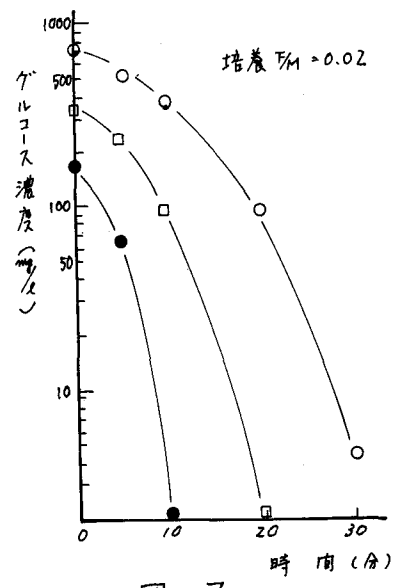
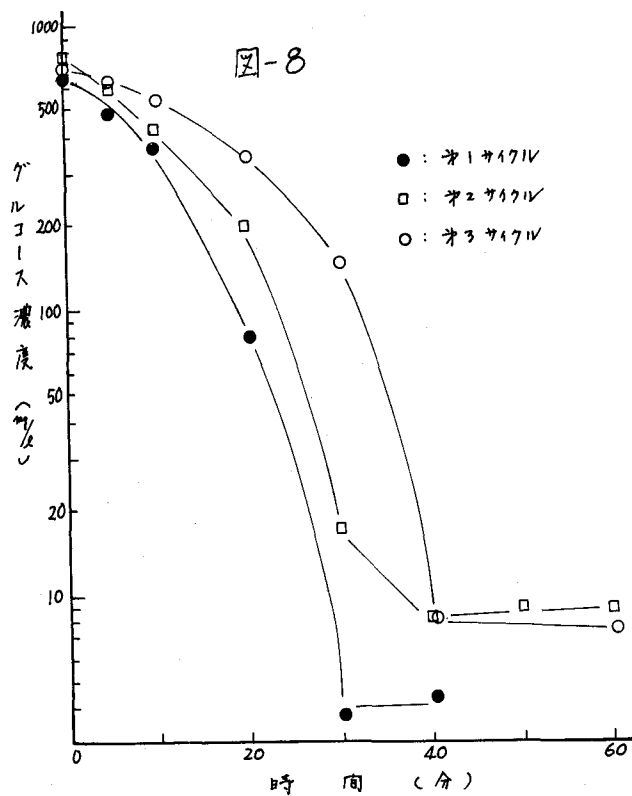
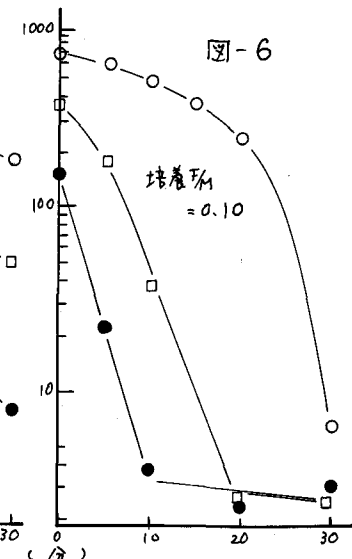
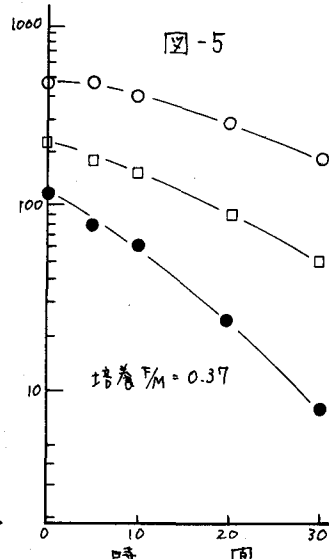
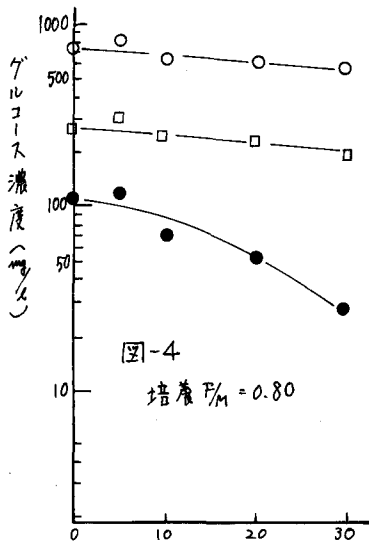


図-3 実験装置



培養 $T/M$	MLSS (mg/l)	$k$ (1/h)
0.80	1420	0.130
0.37	2300	0.220
0.10	2441	0.676
0.02	1800	0.680

培養  $T/M$  が高い程その傾向が顕著であった。

このようすを除いて速度は低下すれば、培養期間中に進行するものと考へて次の種々実験を行つた。 $T/M = 0.10$ で

表-3

培養された汚泥に、実験  $T/M = 0.31$  (基質濃度は培養時の約6倍) による基質を半分で fill and draw サイクルで 3 回行い、その間のグルコース除去について実験を行った。(曝気時間は 7 hr, 曝気時間終了後汚泥を遠心分離、洗浄し、それに基質を与えた。) fill and draw サイクルの 1 回目から 3 回目までのそれぞれのグルコース濃度の経時変化を図-8 に示した。この図から判るように培養条件より  $T/M$  を高くすると、サイクルが進行するにつれて除去速度は低下する。 $(k_1 = 0.857, k_2 = 0.472)$

このような除去速度の低下の原因としては、汚泥中の蓄積物質の蓄積がある。<sup>3)</sup> 活性汚泥による蓄積蓄積については、これまでにもいくつもの報告があり、最近では Walter, C.F., et al,<sup>3)</sup> Engelbrecht, R.S., et al,<sup>4)</sup> Takie, S.,<sup>5)</sup> 等が報告している。これらの報告によると、活性汚泥中の蓄積物質は、基質の種類、 $T/M$ 、 $\%N$  等によて影響され、グルコースを基質とした場合には、グリコーゲン様のポリグルコースが基質添加後急速に蓄積されると言われている。このようにして汚泥中に蓄積された蓄積物質は、その後の曝気時間中に消費されて行くが、その途中で新たに基質が添加されると、その時の基質除去速度はこうした蓄積物質によって影響を受けたといわれている。その影響の又方については、Walter, C.F., et al<sup>3)</sup> が、蓄積物質の減少に比例した除去能力を報告しており、Takie, S.<sup>5)</sup> は、ポリグルコースの蓄積能力が汚泥中のポリグルコース含量に比例せず、グルコース除去能力に関係すると言っている。

又、基質除去速度と有機物負荷との関係について、真柄等は次式で表された関係を示している。<sup>6)</sup>

$$k = -0.013 \times 10^{-0.729(T/M)}$$

$k$ : MLSS, COD 表示の場合の基質除去活性

$$T/M: \text{kgCOD/kgMLSS}\cdot\text{日}$$

筆者等は、活性汚泥の消化機構を説明するための一つの試みとして、活性汚泥と基質との瞬間的初期除去及び全体の基質除去率に対する培養  $T/M$  の影響を把握することを目標として本実験を行ったが、初期除去について、データにかなりのバラツキがあり、培養  $T/M$  との間に有意の関係を提示するまでには至らなかった。又、全体の基質除去率については、グルコース、グルタミン酸ソーダを基質とし、曝気時間 7 hr. とした場合、今回培養日数(約 20 日～50 日)の内では 17 % ほど全ての場合 90 % 以上の除去率を示し、除去率に影響が及ぶ以前に汚泥のペルキシゲン等、活性汚泥の構造的変化が現わった。こうした事は当然基質の種類によっても異なり、べくまとめてあると思われる。そして本実験で用いたような基質の場合には、曝気時間全体からみると比較的短時間で基質は除去されるが、その後の安定化時間か汚泥の値に關係してくると考えられる。この事は、別の側面からすれば除去速度に關係するという事であるが、図-8 の結果から、この關係は培養時間と共に変化し、特に高  $T/M$  の場合には定常状態というものがどのように示されるのが非常に興味深い内容になると思われる。

## 5-5 呼吸作用に対する培養 $T/M$ の影響

### 5-1 実験装置及び方法

図-9 に示した装置を用い、活性汚泥から発生した炭酸ガスを測定して、呼吸作用について考察した。曝気槽には容量 1 l の細口瓶を用いた。活性汚泥混合液に送られる空気は、あらかじめ水酸化バリウム溶液の入った瓶を通して大気中の炭酸ガスを吸収させ、 $\text{CO}_2$  free の状態とした。

活性汚泥から発生した炭酸ガスは、25 ml  
の水酸化バリウムを含む試験管6本に通  
して吸収させ、所定時間後に之の水酸化  
バリウム溶液を修酸で滴定し、定量を行  
つた。6本の試験管は二組用意されて  
おり、連続測定を可能にしてある。

活性汚泥の培養方法、採取方法、基質  
等については表-4で述べた事と同様であ  
る。

## 5-2 実験結果と考察

$F/M = 0.80, 0.37, 0.25$  で培養された  
汚泥について、 $\text{CO}_2$ 発生速度の経時変  
化を図-10～図-12に示した。又、曝氣  
時間7 hr. での $\text{CO}_2$ 全発生量、最大發  
生速度、自家呼吸速度を表-4に示した。

図-10～図-12より、活性汚泥からの炭  
酸ガス発生速度は、基質添加後30分～  
1時間で最大となり、 $F/M$ が大きくな  
るに従い、2～7時間の遅れを傾向が  
みられた。又、高い $F/M$ で培養され  
た汚泥では、最大発生速度を示した後  
曝氣時間と共に漸次発生速度が減少  
するが、培養 $F/M$ の他の汚泥では、7  
～12時間後急激に発生速度は減少  
し、ほぼ一定。発生速度に対する傾向が  
みられた。

次に、7時間での $\text{CO}_2$ 全発生量と実  
験 $F/M$ との関係を図-13に示した。又  
基質添加前の $\text{CO}_2$ 発生速度を自家呼吸  
速度として、全発生量から自家呼吸量  
を差し引いたものを正味の発生量と考  
え、これと実験 $F/M$ との関係も同時に  
示した。この図より、 $\text{CO}_2$ 全発生量  
は、実験 $F/M$ と培養 $F/M$ の両方に關係  
し、正味の発生量は培養 $F/M$ には無關係  
に実験 $F/M$ に対する直線的な関係がみ

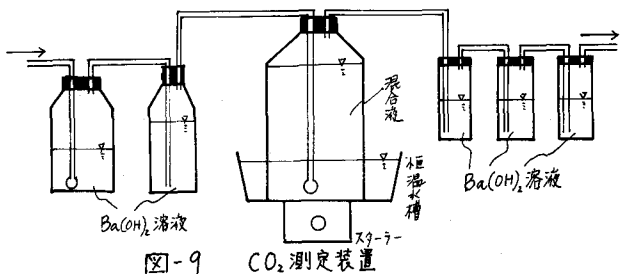


図-9

$\text{CO}_2$ 測定装置

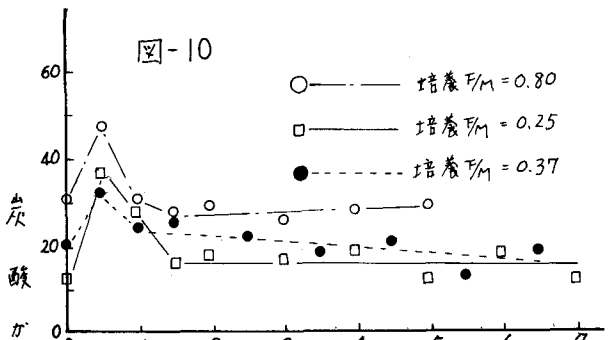


図-10

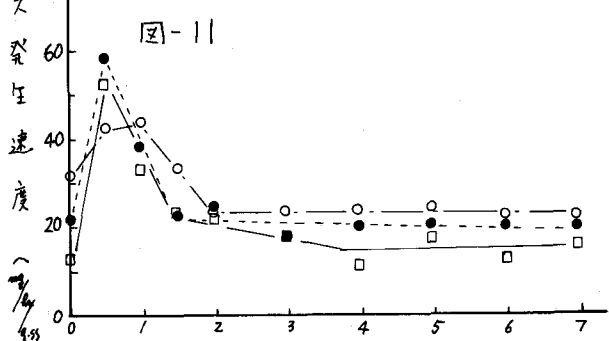


図-11

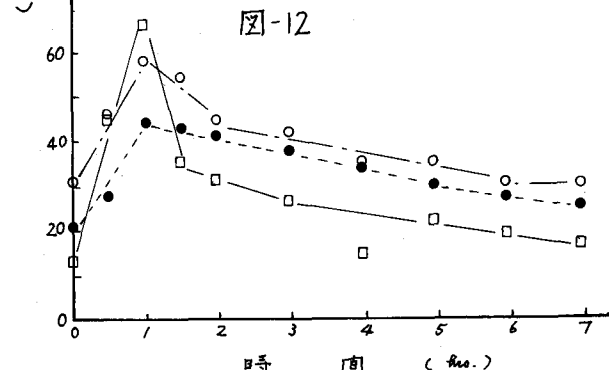


図-12

られた。しかし、自家呼吸速度と内生呼吸とのように定義するかという二つには、様々の見解があり、そのどちらをどうかにするか、どうした關係は違つてくるであつた。今回の実験では、7時間の曝気時間で基質が行はれ90%以上除去されており、このために図-13に示されたような関係が得られたものと思われる。

表-4より、自家呼吸速度は、培養M<sub>1</sub>が高くなるにつれて大きくなる傾向がみられた。この場合の自家

呼吸は、基質添加前の呼吸作用の状態を示しており、この事で多くの考擇を合せて考へると、本実験範囲内では基質添加前の呼吸作用の活性化汚泥は基質除去速度が小さくなることを示している。

中西は、自家呼吸量と代謝活性度と間にかなり高さの相関があると述べており、その関係を次式によく表わしている。<sup>7)</sup>

$$y = \frac{90x - 338}{0.0135x^2 + x + 1.96}$$

y: 代謝活性度 ( $\text{mg CO}_2/\text{gss}\cdot\text{hr}$ )

x: 自家呼吸量 ( " )

又、南部はBOD物質の活性汚泥系内の物質収支について著目<sup>8)</sup>し、返送汚泥の浄化能力とBOD除去速度係数との関係を次のようく表わしている。

$$\bar{k} = 0.00134 \times 10^{0.128w}$$

$$k_b = 0.00435 \times 10^{0.254w}$$

ここで  $\bar{k}$ : 総BOD減少速度係数 (1/a)

$k_b$ : 吸着为主体とするBOD除去速度係数 (1/a)

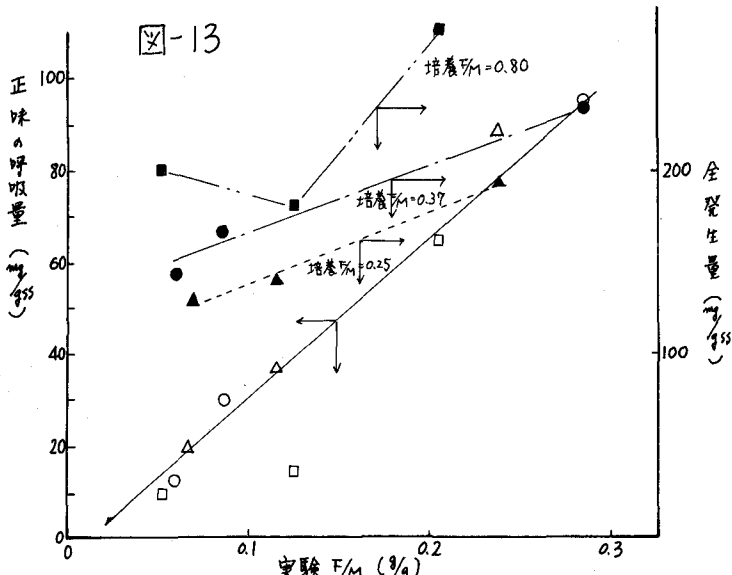
w:  $R_i/Q_{L_i Q}$   $R_i$ : 返送汚泥BOD  $Q$ : 返送汚泥量

$L_i$ : 流入下水BOD  $Q$ : 流入下水量

このような結果は、本実験で得られた傾向と逆の関係を示しているが、本実験では呼吸作用を炭酸ガス発生から検討しており、酸素摂取については観察していないため、今後検討する必要がある。

培養M <sub>1</sub>	実験M <sub>1</sub>	CO <sub>2</sub> 全発生量 ( $\text{mg CO}_2/\text{gss}$ )	最大発生速度 ( $\text{mg CO}_2/\text{gss}\cdot\text{hr}$ )	自家呼吸速度 ( $\text{mg CO}_2/\text{gss}\cdot\text{hr}$ )
0.80	0.21	280	59	30.5
	0.13	—	43.5	28.5
	0.05	180	46.5	32
0.37	0.29	240	44	21
	0.09	165	58.5	21.5
	0.06	142	32.5	21
0.25	0.24	195	66	13.5
	0.12	140	51.5	13.5
	0.07	130	37.5	14

表-4



y: 代謝活性度 ( $\text{mg CO}_2/\text{gss}\cdot\text{hr}$ )

x: 自家呼吸量 ( " )

又、南部はBOD物質の活性汚泥系内の物質収支について著目<sup>8)</sup>し、返送汚泥の浄化能力とBOD除去速度係数との関係を次のようく表わしている。

$$\bar{k} = 0.00134 \times 10^{0.128w}$$

$$k_b = 0.00435 \times 10^{0.254w}$$

ここで  $\bar{k}$ : 総BOD減少速度係数 (1/a)

$k_b$ : 吸着为主体とするBOD除去速度係数 (1/a)

w:  $R_i/Q_{L_i Q}$   $R_i$ : 返送汚泥BOD  $Q$ : 返送汚泥量

$L_i$ : 流入下水BOD  $Q$ : 流入下水量

このような結果は、本実験で得られた傾向と逆の関係を示しているが、本実験では呼吸作用を炭酸ガス発生から検討しており、酸素摂取については観察していないため、今後検討する必要がある。

論をすることはできない。しかし、原因の一つとして考えられる事は、本実験では相対的に高  $T_M$  の範囲を取り扱っているという事である。こうした問題については今後の課題として検討を進めて行きたい。

### 3-6まとめ

- (1) グルコースとグルタミン酸リードを基質とした場合、培養  $T_M$  が高くなる程汚泥のバルキン化が生じやすい。そしてその  $T_M$  の値によってバルキン化汚泥の構造も異なる。
- (2) 培養  $T_M$  下基質除去速度に影響を及ぼし、 $T_M$  が高くなる程大きい顕著である。 $T_M = 0.01 \sim 0.80$  の範囲では、 $T_M$  の増加につれて除去速度は低下した。
- (3) 活性汚泥の全呼吸量は、培養  $T_M$  と実験  $T_M$  の両方に影響される。又、培養  $T_M$  は自家呼吸量に正の相関をもち、 $T_M = 0.25 \sim 0.80$  の範囲で自家呼吸量と基質除去速度は負の相関をもつ傾向がある。

以上、活性汚泥の基質代謝に対する培養  $T_M$  の影響について検討したが、これらは定量的に取り扱うために必要に多くのデータの蓄積が必要であろう。又、活性汚泥と基質との反応において、1つの反応物質である活性汚泥の種の因子をどのように表わすべきかといった問題や、それが反応などのようにはく離してくつかといふ問題も活性汚泥の浄化作用を考える際に重要な問題である。

今後、こうした見地に立てて、活性汚泥に関する種々な現象（除去作用、呼吸作用、吸着初期除去作用、汚泥増殖、バルキン化等）に対する検討を深めて行きたい。

終りに、本実験を行うにあたり当時東洋大学学生大島吉雄君の協力を得た。ここに謝意を表したい。

### 参考文献

- 1) 碩乳健一郎・南部祥一；“長期間正常培養時ににおける活性汚泥性状の変化”，第6回下水道研究発表会講演集 P. 254～256.
- 2) 例三郎・岩井重久・北尾高輔；“生物脱化における基質濃度の消化速度における影響”，土木学会論文集第157号 P. 40～48.
- 3) Walters, G.F., et al ; "Microbial Substrate Storage in Activated Sludge", A.S.C.E. SAZ, April, 1968, 257
- 4) Engelbrecht, R.S., et al ; "The Role of Enzymes in the Contact Stabilization Process", 3rd Int. Conf. on Water Pollution Research II-15
- 5) Takei, S.; "Accumulation of Glycogen-like Polyglucose in Glucose-acclimated Activated Sludge" Jr. Ferment. Technol., Vol. 48, No. 6, p. 350～360, 1970.
- 6) 真柄泰基・林田進；“活性汚泥の基質除去活性に関する研究”下水道協会誌, Vol. 9, No. 97, P.19～25, 1972
- 7) 中西弘；“活性汚泥微生物反応に関する平庸的諸問題”下水道協会誌, Vol. 3, No. 30, P. 12～19, 1966
- 8) 南部祥一；“酸化・吸着・分離による活性汚泥法の数理モデル” 土木学会第5回微生物工学研究討論会, 77 (1969)